

後座盤域における腹板の耐荷力に関する基礎的研究

京都大学工学部 正 工博 小西一郎

“ ” 乃 自 石 成 人

川崎製鉄(K.K) " ○ 江田敬之介

ଶ୍ରୀ କୁମାର

腹板の耐荷力の後座屋域での拳動を解析するために実験的ならびに理論的な研究が種々なされてゐる。理論的な解析としては腹板を板として取り扱って適当な境界条件をあたえ方法が多く用いられてゐる。ここでは小西、白石、渡辺^{*}が周辺単純支持の正方形板に一様荷せん断力を受ける場合について解析したが、それに続くものとして周辺単純支持された正方形板が、面内純曲げモーメントを受けた場合の後座屋域での拳動を解析したものである。
④面内純曲げモーメントを受けた正方形板の後座屋拳動を表わす式

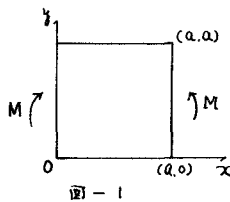


図-1 のよろに周辺単純に支持された一边 a 、厚さ t の正方形板が面内純拘束で一メートルを受ける場合の挙動を解析する。

この拳撃解析には次のKarmamの方程式を用いた。

$$\nabla^4 W = \frac{h}{D} \left\{ \frac{\delta^2 F}{\delta x^2} \frac{\delta^2 W}{\delta y^2} + \frac{\delta^2 F}{\delta y^2} \cdot \frac{\delta^2 W}{\delta x^2} - 2 \frac{\delta^3 F}{\delta x \delta y} \frac{\delta^2 W}{\delta x \delta y} \right\} \quad \dots \dots \dots \quad (2)$$

$\varepsilon = \frac{1}{E} \sigma$, W : 積分方向の位相角, F : Airy の応力関数, E : ヤング率

ヒソクアソバノ

境界條件とて

$$W = \frac{\partial^2 W}{\partial x^2} + V \frac{\partial^2 W}{\partial y^2} = 0 \quad \text{along } x=0, x=a. \quad | \quad \dots \dots \dots \quad (3)$$

$$W = \frac{\partial^2 W}{\partial y^2} + \sqrt{\frac{\partial^2 W}{\partial x^2}} = 0 \quad \text{along } y=0, \quad y=a.$$

周辺で応力が満足すべき條件とし

$$H = -\hbar \int_0^a \sigma_x \cdot \mathbf{y} \, dy$$

along $z=0, x=a$

$$\int_0^a \sigma_y \, dy = 0$$

along $y=0, y=a$

$$\frac{\partial F}{\partial z} = -\tau_{xy} = 0$$

all boundaries

(4)

③を満足するたわみ関数 W として、 ψ の2重フーリエ級数を仮定する。

(5)を(4)に代入して(4)を満足するようにFを決めると

$$F = -\frac{2M}{a^2k} \left(y - \frac{a}{2} \right)^3 + E h^2 \sum_{n=1}^{\infty} \sum_{m=-n}^{n} \Phi_{nm} \cos \frac{px}{a} \cos \frac{qmy}{a} \quad \dots \quad (6)$$

重数: $(d_{m-1} = \text{階数の2次式})$

(6) と (7) を代入して Galerkin 法によって a_{mn} を求めよ。

$$\int_0^a \int_0^q \left\{ \nabla^2 w - \frac{h}{D} \left(\frac{\partial^2 F}{\partial x^2} \cdot \frac{\partial^2 W}{\partial y^2} + \frac{\partial^2 F}{\partial y^2} \cdot \frac{\partial^2 W}{\partial x^2} - 2 \frac{\partial^2 F}{\partial x \partial y} \cdot \frac{\partial^2 W}{\partial y \partial x} \right) \right\} \sin \frac{\pi x}{a} \sin \frac{8\pi y}{a} dx dy = 0 \quad \dots \dots \dots \quad (1)$$

④を計算して、 $\frac{M}{D} = \lambda$ とおいて整理すると次式がえられる。

$$\frac{(M+S)^2 \pi^4}{4} a_{rs} + \lambda r^2 \sum_{n=1}^{\infty} \frac{24 M S}{(n^2 - s^2)^2} a_{rn} - \frac{3}{4} \cdot \frac{\pi^4}{(1-\nu^2)} \sum_{m=1}^{\infty} \sum_{n=1}^{\infty} \left[-(M V + M S)^2 \{ \Phi_{r m, n-s} + \Phi_{m r, s-n} + \Phi_{m r, n+s} + \Phi_{r m, s+n} \} \right] a_{mn} = 0 \quad \dots \dots \dots \quad (8)$$

(8) 式は a_{mn} について 1 次と 3 次の項よりなる代数方程式である。

ここで (8) 式の a_{mn} のとり方について考える。 (8) の 3 次の項を零とすると a_{rs} は 1 次の齊次連立方程式になる。 $a_{rs} \neq 0$ ならば係数行列式 A が零に等しいと入で決めるところが線型理論よりえられる座屈値と一致するものである。 $\Delta = 0$ より入で決める場合、 a_{rs} の開口には独立なものと独立でないものがあるが後度領域での変形モードは互に独立でない a_{rs} を除んだ。而内純曲げモーメントを仮定した場合上の考え方につれて変形モードを考えると 3 本の変形モードが可能である。

$$W_1 = h \sin \frac{\pi x}{a} \sum_n^{\infty} a_{2n} \sin \frac{M \pi y}{a}, \quad W_2 = h \sin \frac{2\pi x}{a} \sum_n^{\infty} a_{2n} \sin \frac{M \pi y}{a},$$

$$W_3 = h \sin \frac{3\pi x}{a} \sum_n^{\infty} a_{2n} \sin \frac{M \pi y}{a}, \quad \dots \dots \dots$$

W_1, W_2, \dots をそれぞれ第 1 系列、第 2 系列、 \dots と名付ける。ここで角解析の対象の系列としては、座屈値が最小のものをつぎに小さいものを探んでみた。最小のものとして W_2 ($\lambda = 42.18$) つづいて小さいものとしては W_1 ($\lambda = 44.62$) 境界は 2 本含まれる項までとした。第 2 系列と第 1 系列につれて (8) 式により 3 元 3 次の連立方程式を導くとつづきのようになる。 $(V = 0.8 \pm 12)$

$$\begin{aligned} & 2,2893 a_{21} + 0.0802 \lambda a_{22} + 0.265 a_{21}^3 - 1.5 a_{21}^2 a_{23} + 4.0625 a_{21} a_{22}^2 + 4.7962 a_{21} a_{23}^2 + 3.7785 a_{22}^2 a_{23} = 0 \\ & 5.8608 a_{22} + 0.0802 \lambda a_{21} + 0.0866 \lambda a_{23} + 2 a_{22}^3 + 6.5319 a_{21}^2 a_{22} + 8.4132 a_{21} a_{22}^2 + 7.5570 a_{21} a_{22} a_{23} = 0 \\ & 15.4962 a_{23} + 0.0866 \lambda a_{22} - a_{21}^3 + 5.1185 a_{21}^2 a_{23} + 3.7785 a_{21} a_{22}^2 + 8.4132 a_{22}^2 a_{23} + 6.0625 a_{23}^3 = 0 \end{aligned} \quad \dots \dots \dots \quad (9)$$

*1 系列につれて

$$\begin{aligned} & 1.4652 a_{11} + 0.0802 \lambda a_{12} + 0.5 a_{11}^3 + 2.8115 a_{11} a_{12}^2 - 0.75 a_{11}^2 a_{13} + 4.26 a_{11} a_{13}^2 + 3 a_{12}^2 a_{13} = 0 \\ & 9.157 a_{12} + 0.0802 \lambda a_{11} + 0.0866 \lambda a_{13} + 2.8115 a_{11}^2 a_{12} + 6 a_{11} a_{12} a_{13} + 4.25 a_{12}^3 + 16.2503 a_{12} a_{13}^2 = 0 \\ & 36.63 a_{13} + 0.0866 \lambda a_{12} - 0.25 a_{11}^3 + 4.26 a_{11}^2 a_{13} + 8 a_{11} a_{12}^2 + 16.2503 a_{11}^2 a_{13} + 20.5 a_{13}^3 = 0 \end{aligned} \quad \dots \dots \dots \quad (10)$$

(9), (10) 式を電子計算機を用いて解いた。

*3 あとがき。

計算結果つきのこととか明らかになつた。

(1) 面内純曲げモーメントが座屈値を越えても極端に大きくなれば生じない。

(2) たやみが増大につれて直応力 σ の分布が平均値になつて周辺(圧縮側)ほど大きくなる。このことは実験の結果よくわかる。また曲げによる腹板の座屈はフランジの座屈であるといふ事実を説明している。

(3) 第 1 系列と第 2 系列の後度領域ごとの種々比較解析の結果第 1 系列の耐荷力の方が第 2 系列のそれより大きい。

(4) 面内純曲げモーメントを仮定した方形板について、降伏応力に対して一定の安全率を有するように設計すれば、普通鋼(S345)より高張力の方のが有利である。

*). 土木学会論文集 第 136 号 (昭和 41 年 12 月)